

均匀平面波的反射和透射^[1]

电磁场与电磁波不挂科第六讲讲义

■ 矢量的加与减的几何意义

均匀平面波在传播过程中常会遇到不同媒质的分界面。

电磁波入射到某分界面上时，部分电磁能量被分界面反射形成反射波；

另一部分能量穿过分界面继续传播，形成透射波。

入射波的电场强度和磁场强度常用 E_i 和 H_i 表示；

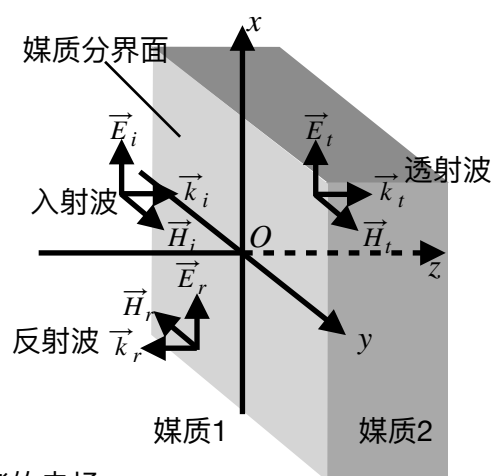
反射波的电场和磁场用 E_r 和 H_r 表示；

透射波的电场和磁场用 E_t 和 H_t 表示。

反射波和透射波相较入射波，电磁能量发生改变，对应二者的电场和磁场表达式中振幅的变化；

另外，反射波的传播方向与入射波相反，对应表示传播方向的相位因子的变化；

透射波的传播媒质发生变化，对应于媒质参数有关的物理量发生变化。



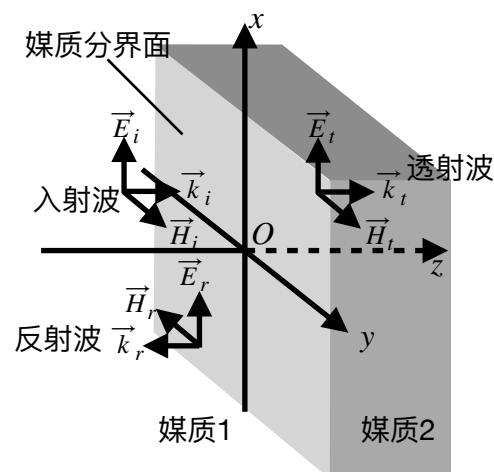
6.1. 均匀平面波的垂直入射

6.1.1. 对导电媒质分界面的垂直入射

■ 对导电媒质分界面的垂直入射

如右图所示, $z < 0$ 的半空间充满参数为 ϵ_1 、 μ_1 和 σ_1 的导电媒质1, $z > 0$ 的半空间充满参数为 ϵ_2 、 μ_2 和 σ_2 的导电媒质2, 均匀平面波从媒质1垂直入射到 $z = 0$ 的分界平面上。

假定入射波是沿 x 方向的线极化波。



■ 对导电媒质分界面的垂直入射「入射波」

媒质1中的入射波电场和磁场的表达式可写为：

$$\vec{E}_i(z) = \vec{e}_x E_{im} e^{-\gamma_1 z}$$

$$\vec{H}_i(z) = \vec{e}_z \times \frac{1}{\eta_{1c}} \vec{E}_i(z) = \vec{e}_y \frac{1}{\eta_{1c}} E_{im} e^{-\gamma_1 z}$$

其中：

$$\gamma_1 = jk_{1c} = j\omega \sqrt{\mu_1 \epsilon_{1c}} = j\omega \sqrt{\mu_1 \epsilon_1 (1 - j \frac{\sigma_1}{\omega \epsilon_1})}$$

$$\eta_{1c} = \sqrt{\frac{\mu_1}{\epsilon_{1c}}} = \sqrt{\frac{\mu_1}{\epsilon_1}} (1 - j \frac{\sigma_1}{\omega \epsilon_1})^{-\frac{1}{2}}$$

■ 对导电媒质分界面的垂直入射「反射波」

部分电磁能量被分界面反射, 形成反射波。相较入射波, 反射波的传播方向发生变化, 幅度发生变化。

反射波的电场和磁场分别为：

$$\vec{E}_r(z) = \vec{e}_x E_{rm} e^{\gamma_1 z}$$

$$\vec{H}_r(z) = -\vec{e}_z \times \frac{1}{\eta_{1c}} \vec{E}_r(z) = -\vec{e}_y \frac{1}{\eta_{1c}} E_{rm} e^{\gamma_1 z}$$

媒质1中的电磁波由入射波和反射波合成, 合成波的电场和磁场为：

$$\vec{E}_1(z) = \vec{E}_i(z) + \vec{E}_r(z) = \vec{e}_x (E_{im} e^{-\gamma_1 z} + E_{rm} e^{\gamma_1 z})$$

$$\vec{H}_1(z) = \vec{H}_i(z) + \vec{H}_r(z) = \vec{e}_y \frac{1}{\eta_{1c}} (E_{im} e^{-\gamma_1 z} - E_{rm} e^{\gamma_1 z})$$

■ 对导电媒质分界面的垂直入射「透射波」

部分电磁能量穿过分界面继续传播，形成透射波。相较入射波，透射波的传播方向不变，幅度和传播媒质发生变化。

其电场和磁场的表达式分别为：

$$\vec{E}_t(z) = \vec{e}_x E_{tm} e^{-\gamma_2 z}$$

$$\vec{H}_t(z) = \vec{e}_z \times \frac{1}{\eta_{2c}} \vec{E}_t(z) = \vec{e}_y \frac{1}{\eta_{2c}} E_{tm} e^{-\gamma_2 z}$$

其中：

$$\gamma_2 = j\omega \sqrt{\mu_2 \varepsilon_{2c}} = j\omega \sqrt{\mu_2 \varepsilon_2 (1 - j \frac{\sigma_2}{\omega \varepsilon_2})}$$

$$\eta_{2c} = \sqrt{\frac{\mu_2}{\varepsilon_{2c}}} = \sqrt{\frac{\mu_2}{\varepsilon_2}} (1 - j \frac{\sigma_2}{\omega \varepsilon_2})^{-\frac{1}{2}}$$

媒质2中只有透射波，即 $E_2(z) = E_t(z)$, $H_2(z) = H_t(z)$ 。

■ 反射系数和透射系数

定义分界面上的反射系数 Γ 为反射波电场振幅 E_{rm} 与入射波电场振幅 E_{im} 的比值，其表达式

$$\text{为： } \Gamma = \frac{E_{rm}}{E_{im}} = \frac{\eta_{2c} - \eta_{1c}}{\eta_{2c} + \eta_{1c}}。$$

另定义分界面上的透射系数 τ 为透射波电场振幅 E_{tm} 与入射波电场振幅 E_{im} 的比值，其表达式

$$\text{为： } \tau = \frac{E_{tm}}{E_{im}} = \frac{2\eta_{2c}}{\eta_{2c} + \eta_{1c}}。$$

「对于一般媒质的分界面，电场强度和磁场强度满足的边界条件分别为：

$$\vec{e}_n \times (\vec{E}_1 - \vec{E}_2) = 0, \vec{e}_n \times (\vec{H}_1 - \vec{H}_2) = \vec{J}_s = 0。$$

将前面求出的 $E_1(z), E_2(z), H_1(z), H_2(z)$ 代入边界条件（此时分界面的法线方向单位矢量 \vec{e}_n

$$\text{为 } -\vec{e}_z \text{），可以得到： } \begin{cases} E_{im} + E_{rm} = E_{tm} \\ \frac{E_{im}}{\eta_{1c}} - \frac{E_{rm}}{\eta_{1c}} = \frac{E_{tm}}{\eta_{2c}} \end{cases}$$

由此可解得： $E_{rm} = \frac{\eta_{2c} - \eta_{1c}}{\eta_{2c} + \eta_{1c}} E_{im}$, $E_{tm} = \frac{2\eta_{2c}}{\eta_{2c} + \eta_{1c}} E_{im}$ 。」

由反射系数和透射系数的表达式可得二者关系为： $1 + \Gamma = \tau$ 。

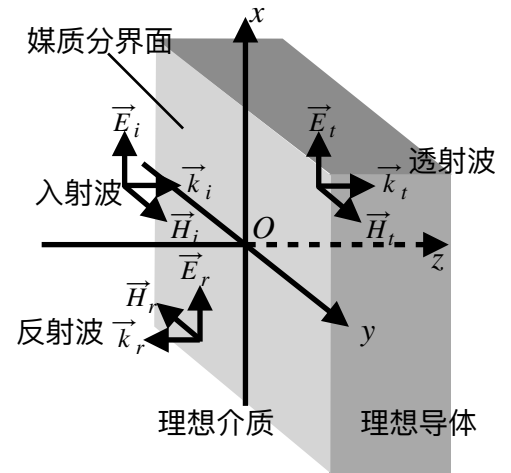
6.1.2.对理想导体平面的垂直入射

■ 对理想导体平面的垂直入射

如右图所示， x 方向线极化的均匀平面波沿 $+z$ 方向从理想介质垂直入射到理想导体，分界面为 xy 平面。

由于理想导体的电导率 $\sigma_2 = \infty$ ，其本征阻抗为

$$\eta_{2c} = \sqrt{\frac{\mu_2}{\epsilon_{2c}}} = \sqrt{\frac{\mu_2}{\epsilon_2 - j\frac{\sigma_2}{\epsilon}}} \rightarrow 0;$$



将其代入透射和反射系数的表达式，得到 $\Gamma = -1, \tau = 0$ ，这表示

理想导体将电磁波全部反射，导体内部的电磁场为零，没有电磁波产生透射。

■ 对理想导体平面的垂直入射「入射波」

假定入射波是沿 x 方向的线极化波。

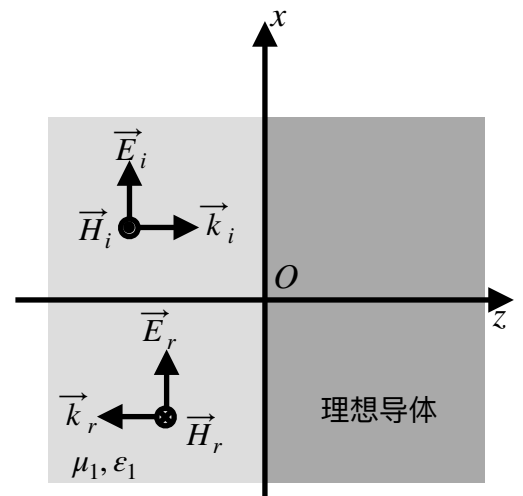
因为媒质1为理想介质，有 $\gamma_1 = j\omega\sqrt{\mu_1\epsilon_1} = j\beta_1$ ，

$$\eta_{1c} = \sqrt{\frac{\mu_1}{\epsilon_1}} = \eta_1。$$

则入射波电场和磁场的表达式可写为：

$$\vec{E}_i(z) = \vec{e}_x E_{im} e^{-j\beta_1 z}$$

$$\vec{H}_i(z) = \vec{e}_z \times \frac{1}{\eta_1} \vec{E}_i(z) = \vec{e}_y \frac{1}{\eta_1} E_{im} e^{-j\beta_1 z}$$



■ 对理想导体平面的垂直入射「反射波」

设反射波的电场表达式为 $\vec{E}_r(z) = \vec{e}_x E_{rm} e^{j\beta_1 z}$ ，对理想导体分界面，有边界条件

$$\vec{e}_n \times \vec{E}_1|_{z=0} = -\vec{e}_z \times (\vec{E}_i + \vec{E}_r)|_{z=0} = -\vec{e}_y (E_{im} + E_{rm}) = 0。$$

电磁能量被理想导体面全部反射，在分界面上应用理想导体的边界条件，可以得到反射波振幅 $E_{rm} = -E_{im}$ ；

则反射波的电场和磁场表达式为：

$$\vec{E}_r(z) = -\vec{e}_x E_{im} e^{j\beta_1 z}$$

$$\vec{H}_r(z) = \vec{e}_y \frac{1}{\eta_1} E_{im} e^{j\beta_1 z}$$

■ 对理想导体平面的垂直入射「媒质1中的合成波」

媒质1中的电磁波由入射波和反射波合成，合成波的电磁场为：

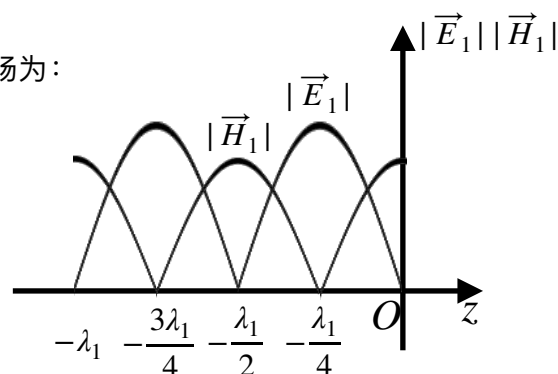
$$\vec{E}_1(z) = \vec{e}_x E_{im} (e^{-j\beta_1 z} - e^{j\beta_1 z}) = -\vec{e}_x j 2E_{im} \sin \beta_1 z$$

$$\vec{H}_1(z) = \vec{e}_y \frac{1}{\eta_1} E_{im} (e^{-j\beta_1 z} + e^{j\beta_1 z}) = \vec{e}_y \frac{2}{\eta_1} E_{im} \cos \beta_1 z$$

其对应的瞬时表达式为：

$$\vec{E}_1(z, t) = \text{Re}[\vec{E}_1(z) e^{j\omega t}] = \vec{e}_x 2E_{im} \sin \beta_1 z \sin \omega t$$

$$\vec{H}_1(z, t) = \text{Re}[\vec{H}_1(z) e^{j\omega t}] = \vec{e}_y \frac{2}{\eta_1} E_{im} \cos \beta_1 z \cos \omega t$$



由此可知，合成波的相位仅与时间有关，即空间中各点的相位相同；

各点处的电场和磁场强度的振幅表达式分别为：

$$|\vec{E}_1(z)| = 2E_{im} |\sin \beta_1 z|$$

$$|\vec{H}_1(z)| = \frac{2}{\eta_1} E_{im} |\cos \beta_1 z|$$

对电场来说，当 $\beta_1 z = -n\pi$ ，即 $z = -\frac{n\lambda_1}{2}$ ($n = 0, 1, 2, 3, \dots$) 时，电场振幅始终为零，称

这些点为波节点。

当 $\beta_1 z = -(n + \frac{1}{2})\pi$, 即 $z = -\frac{(2n+1)\lambda_1}{4}$ ($n = 0, 1, 2, 3, \dots$)时, 电场振幅达到最大值,

称这些点为波腹点。

合成波的波腹和波节位置始终不变。

各点处的电场强度瞬时值随时间变化, 但波形不向前推进, 即合成波在空间没有移动, 只是在原来的位置振动, 称这种波为驻波。

同样地, 可以看出磁场也为驻波。

当 $\beta_1 z = -n\pi$ 时产生波腹, 当 $\beta_1 z = -\frac{(2n+1)\pi}{2}$ 时产生波节。

电场和磁场有 $\frac{\pi}{2}$ 的空间相位差, 位置上错开 $\frac{\lambda_1}{4}$ 。在理想导体表面上 ($z = 0$ 处), 合成波电

场有最小振幅点, $|\vec{E}_1(0)|$ 为零; 磁场有最大振幅点, $|\vec{H}_1(0)| = \frac{2}{\eta_1} E_{im}$ 。

合成波的平均坡印廷矢量为

$$\vec{S}_{lav} = \frac{1}{2} \text{Re}[\vec{E}_1(z) \times \vec{H}_1^*(z)] = \frac{1}{2} \text{Re}[\vec{e}_z j \frac{4\vec{E}_{im}^2}{\eta_1} \sin \beta_1 z] = 0$$

表示驻波不发生电磁能量的传输, 仅在两个波节间进行电场能量和磁场能量的交换。

合成波电场和磁场的瞬时表达式为

$$\vec{E}_1(z, t) = \text{Re}[\vec{E}_1(z) e^{j\omega t}] = \vec{e}_x 2E_{im} \sin \beta_1 z \sin \omega t$$

$$\vec{H}_1(z, t) = \text{Re}[\vec{H}_1(z) e^{j\omega t}] = \vec{e}_y \frac{2}{\eta_1} E_{im} \cos \beta_1 z \cos \omega t$$

■ 例题6-1

一右旋圆极化波垂直入射至位于 $z = 0$ 的理想导体板上, 其电场强度的复数形式为

$$\vec{E}_i(z) = (\vec{e}_x - \vec{e}_y j) E_m e^{-j\beta z}.$$

- (1) 确定反射波的极化;
- (2) 写出总电场强度的瞬时表达式;
- (3) 求板上的感应面电流密度。

■ 例题6-2

有一频率为 100MHz 、沿 y 方向极化的均匀平面波从空气（ $x < 0$ 区域）中垂直入射到位于 $x = 0$ 的理想导体板上。设入射波电场 \vec{E}_i 的振幅为 10 V/m 。

- (1) 入射波电场 \vec{E}_i 的磁场 \vec{H}_i 的复矢量；
- (2) 反射波电场 \vec{E}_r 的磁场 \vec{H}_r 的复矢量；
- (3) 合成波电场 \vec{E}_1 的磁场 \vec{H}_1 的复矢量；
- (4) 距离导体平面最近的合成波电场 \vec{E}_1 为0的位置；
- (5) 距离导体平面最近的合成波磁场 \vec{H}_1 为0的位置；

■ 例题6-3

一均匀平面波沿 $+z$ 方向传播，其电场强度矢量为

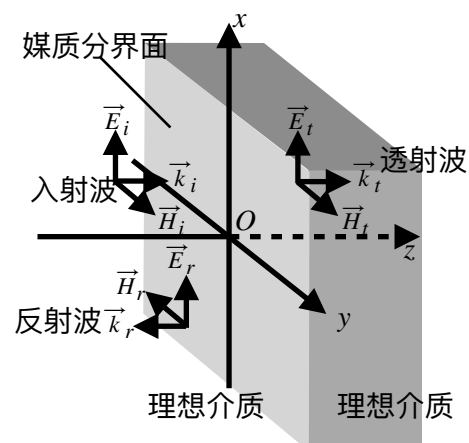
$$\vec{E} = \vec{e}_x 100 \sin(\omega t - \beta z) + \vec{e}_y 200 \cos(\omega t - \beta z) \text{ V/m}.$$

- (1) 应用麦克斯韦方程求相伴的磁场 \vec{H} ；
- (2) 若在波传播方向上 $z = 0$ 处，放置一无限大的理想导体板，求 $z < 0$ 区域中的 \vec{E}_1 和 \vec{H}_1 ；
- (3) 求理想导体板表面的电流密度。

6.1.3.对理想介质分界面的垂直入射

■ 对理想介质分界面的垂直入射

如右图所示， x 方向线极化的均匀平面波沿 $+z$ 方向从理想介质垂直入射到另一理想介质，分界面为 xy 平面。



由于理想介质的电导率 $\sigma_1 = \sigma_2 = 0$ ，则有

$$\gamma_1 = j\omega\sqrt{\mu_1\epsilon_1} = j\beta_1, \quad \eta_{1c} = \sqrt{\frac{\mu_1}{\epsilon_1}} = \eta_1;$$

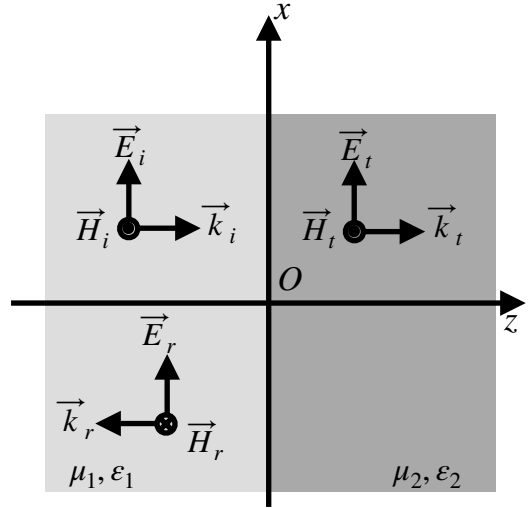
$$\gamma_2 = j\omega\sqrt{\mu_2\epsilon_2} = j\beta_2, \quad \eta_{2c} = \sqrt{\frac{\mu_2}{\epsilon_2}} = \eta_2。$$

将其代入透射和反射系数的表达式，得到

$$\Gamma = \frac{\eta_2 - \eta_1}{\eta_2 + \eta_1}$$

$$\tau = \frac{2\eta_2}{\eta_2 + \eta_1}$$

此时 η_1, η_2 都是实数。



■ 对理想介质分界面的垂直入射「入射波」

假定入射波是沿 x 方向的线极化波。

因为媒质1为理想介质，有 $\gamma_1 = j\omega\sqrt{\mu_1\epsilon_1} = j\beta_1$ ， $\eta_{1c} = \sqrt{\frac{\mu_1}{\epsilon_1}} = \eta_1$ 。

则入射波电场和磁场的表达式可写为

$$\vec{E}_i(z) = \vec{e}_x E_{im} e^{-j\beta_1 z}, \quad \vec{H}_i(z) = \vec{e}_z \times \frac{1}{\eta_1} \vec{E}_i(z) = \vec{e}_y \frac{1}{\eta_1} E_{im} e^{-j\beta_1 z}。$$

■ 对理想介质分界面的垂直入射「反射波」

电磁能量被理想介质分界面部分反射，反射波的振幅可表示为 $E_{rm} = \Gamma E_{im}$ ；则反射波的电

场和磁场表达式为 $\vec{E}_r(z) = \vec{e}_x \Gamma E_{im} e^{j\beta_1 z}$ ， $\vec{H}_r(z) = -\vec{e}_y \frac{1}{\eta_1} \Gamma E_{im} e^{j\beta_1 z}$ 。

由反射系数的表达式可知，当 $\eta_2 > \eta_1$ 时反射系数 $\Gamma > 0$ ，此时分界面上反射波和入射波的电场同相位；当 $\eta_2 < \eta_1$ 时 $\Gamma < 0$ ，两电场符号相反，因为 $-1 = e^{j\pi}$ ，所以分界面上二者相位相差 π 。

媒质1中的电磁波由入射波和反射波合成，合成波的电磁场为：

$$\vec{E}_1 = \vec{e}_x E_{im}(e^{-j\beta_1 z} + \Gamma e^{j\beta_1 z}), \quad \vec{H}_1 = \vec{e}_y \frac{E_{im}}{\eta_1}(e^{-j\beta_1 z} - \Gamma e^{j\beta_1 z}).$$

■ 对理想介质分界面的垂直入射「透射波」

部分电磁能量穿过分界面继续传播形成透射波，其振幅可表示为 $E_{tm} = \tau E_{im}$ ，其电场和磁场的表达式分别为：

$$\vec{E}_t(z) = \vec{e}_x \tau E_{im} e^{-j\beta_2 z}, \quad \vec{H}_t(z) = \vec{e}_y \frac{\tau}{\eta_2} E_{im} e^{-j\beta_2 z}.$$

媒质2中只有透射波，即 $E_2(z) = E_t(z)$, $H_2(z) = H_t(z)$ 。

■ 对理想介质分界面的垂直入射「媒质1中的合成波」

媒质1中合成波的电场复数表达式为 $\vec{E}_1 = \vec{e}_x E_{im}(e^{-j\beta_1 z} + \Gamma e^{j\beta_1 z})$ ；为方便理解其性质，根据 $e^{j\beta_1 z} - e^{-j\beta_1 z} = j2 \sin \beta_1 z$ 对上式进行变换，得：

$$\vec{E}_1 = \vec{e}_x E_{im}(e^{-j\beta_1 z} + \Gamma e^{j\beta_1 z} + \Gamma e^{-j\beta_1 z} - \Gamma e^{-j\beta_1 z}) = \vec{e}_x E_{im}[(1 + \Gamma)e^{-j\beta_1 z} + j2\Gamma \sin \beta_1 z]$$

同理可得合成波的磁场复数表达式：

$$\vec{H}_1 = \vec{e}_y \frac{E_{im}}{\eta_1}(e^{-j\beta_1 z} - \Gamma e^{j\beta_1 z}) = \vec{e}_y \frac{E_{im}}{\eta_1}[(1 + \Gamma)e^{-j\beta_1 z} - 2\Gamma \cos \beta_1 z]$$

观察电场表达式，由于 $\vec{e}_x j2\Gamma E_{im} \sin \beta_1 z$ 满足驻波形式，而 $e^{-j\beta_1 z} = \cos \beta_1 z - j \sin \beta_1 z$ 部分没有固定的波节波腹，故可将合成波电场分为行波和驻波两部分：行波对应传播因子为 $e^{-j\beta_1 z}$ 的 $\vec{e}_x E_{im}(1 + \Gamma)e^{-j\beta_1 z}$ 部分；驻波为 $\vec{e}_x j2\Gamma E_{im} \sin \beta_1 z$ 部分。

媒质1中合成波的电场复数表达式为 $\vec{E}_1 = \vec{e}_x E_{im}[(1 + \Gamma)e^{-j\beta_1 z} + j2\Gamma \sin \beta_1 z]$ ，其振幅为

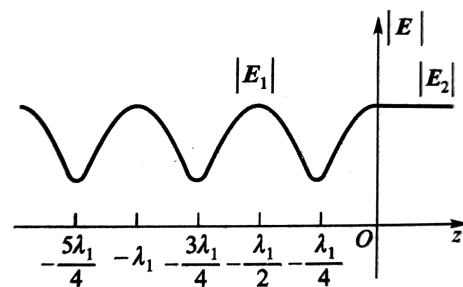
$$|\vec{E}_1(z)| = E_{im} \sqrt{1 + \Gamma^2 + 2\Gamma \cos(2\beta_1 z)}.$$

当 $\Gamma > 0$ 时，在 $z = -\frac{n\lambda_1}{2}$ ($n = 0, 1, 2, 3, \dots$) 时合成波电场振幅取得最大值

$$|\vec{E}_1(z)|_{max} = E_{im}(1 + \Gamma);$$

在 $z = -\frac{(2n+1)\lambda_1}{4}$ ($n = 0, 1, 2, 3, \dots$) 时振幅取得最小值 $|\vec{E}_1(z)|_{min} = E_{im}(1 - \Gamma)$ 。

此时电场振幅波形如右图所示，在分界面上有振幅最大点。

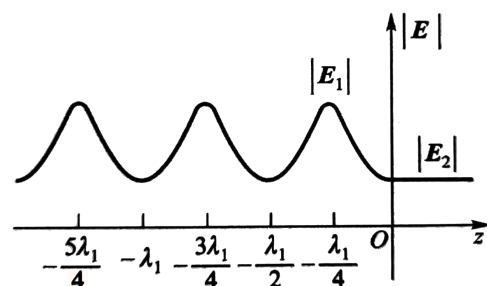


当 $\Gamma < 0$ 时，在 $z = -\frac{(2n+1)\lambda_1}{4}$ ($n = 0, 1, 2, 3, \dots$) 时合成波电场振幅取得最大值

$$|\vec{E}_1(z)|_{\max} = E_{im}(1 - \Gamma);$$

在 $z = -\frac{n\lambda_1}{2}$ ($n = 0, 1, 2, 3, \dots$) 时振幅取得最小值 $|\vec{E}_1(z)|_{\min} = E_{im}(1 + \Gamma)$ 。

此时电场振幅波形如右图所示，在分界面上有振幅最小点。



媒质1中合成波的电场复数表达式为 $\vec{E}_1 = \vec{e}_x E_{im}[(1 + \Gamma)e^{-j\beta_1 z} + j2\Gamma \sin \beta_1 z]$ ，其振幅为

$$|\vec{E}_1(z)| = E_{im} \sqrt{1 + \Gamma^2 + 2\Gamma \cos(2\beta_1 z)}.$$

同样的，合成波磁场的振幅也能由其复数表达式推得：

$$|\vec{H}_1(z)| = \frac{E_{im}}{\eta_1} \sqrt{1 + \Gamma^2 - 2\Gamma \cos(2\beta_1 z)}.$$

可以看出电场和磁场振幅的最大值和最小值的出现位置正好互换。

■ 驻波系数

定义驻波系数（驻波比） S 为合成波电场强度最大值和最小值之比，即

$$= \frac{|\vec{E}_1|_{\max}}{|\vec{E}_1|_{\min}} = \frac{1 + |\Gamma|}{1 - |\Gamma|}.$$

驻波系数的单位为分贝。

由驻波系数表达式可得： $|\Gamma| = \frac{S-1}{S+1}$ 。

■ 两种媒质中电磁波的平均功率密度

入射波的平均功率密度为：

$$\vec{S}_{iav} = \frac{1}{2} \text{Re}[\vec{e}_x E_i \times \vec{e}_y H_i^*] = \vec{e}_z \frac{E_{im}^2}{2\eta_1}$$

反射波的平均功率密度为：

$$\vec{S}_{rav} = \frac{1}{2} \text{Re}[\vec{e}_x E_r \times \vec{e}_y H_r^*] = -\vec{e}_z \frac{E_{im}^2}{2\eta_1} \Gamma^2$$

媒质1中合成波沿z方向传播的平均功率密度为：

$$\vec{S}_{1av} = \frac{1}{2} \text{Re}[\vec{e}_x E_1 \times \vec{e}_y H_1^*] = \vec{e}_z \frac{E_{im}^2}{2\eta_1} (1 - \Gamma^2)$$

媒质2中透射波的平均功率密度为：

$$\vec{S}_{2av} = \frac{1}{2} \text{Re}[\vec{e}_x E_2 \times \vec{e}_y H_2^*] = \vec{e}_z \frac{E_{im}^2}{2\eta_2} \tau^2$$

利用 $1 + \Gamma = \tau$ 和 $\Gamma = \frac{\eta_2 - \eta_1}{\eta_2 + \eta_1}$ ，容易证明 $\vec{S}_{1av} = \vec{S}_{2av}$ 。

■ 例题6-4

一均匀平面波自空气中垂直入射到半无限大的无耗介质表面上，已知空气中合成波的驻波比为3，介质内透射波的波长是空气中波长的1/6，且介质表面上为合成波电场的最小点。

求介质的相对磁导率 μ_r 和相对介电常数 ϵ_r 。

■ 例题6-5

一圆极化波自空气中垂直入射于一介质板上，介质板的本征阻抗为 η_2 。入射波电场为

$$\vec{E} = E_m(\vec{e}_x + \vec{e}_y j)e^{-j\beta z}.$$

求反射波与透射波的电场，它们的极化情况如何？

■ 例题6-6

入射波电场 $\vec{E}_i = \vec{e}_x 10 \cos(3\pi \times 10^9 t - 10\pi z) \text{ V/m}$ ，从空气（ $z < 0$ 区域）中垂直入射到 $z = 0$ 的分界面上，在 $z > 0$ 区域中 $\mu_r = 1$ 、 $\epsilon_r = 4$ 、 $\sigma = 0$ 。

求 $z > 0$ 区域的电场 \vec{E}_2 和磁场 \vec{H}_2 。

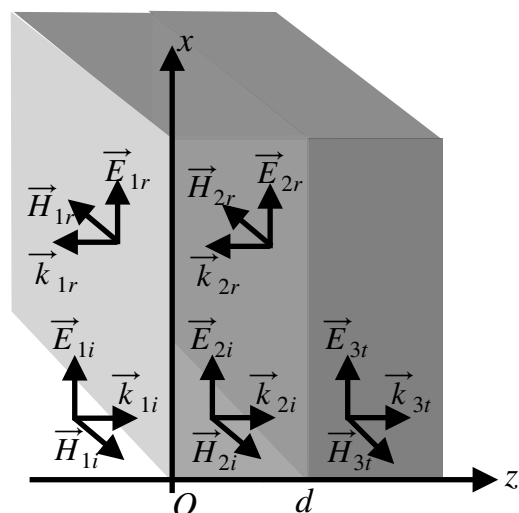
6.1.4.对多层介质分界面的垂直入射

■ 对三层介质分界平面的垂直入射

考虑三层不同的无损耗介质产生的两个分界面，介质1和介质2产生的分界面位于 $z = 0$ ；介质2厚度为 d ，并在 $z = d$ 处与介质3交界。

电磁波从介质1垂直入射，首先在分界面 $z = 0$ 处产生反射和透射；透射波在介质2中传播，垂直入射分界面 $z = d$ ，再次产生反射和透射。

两个分界面的反射系数分别设为 Γ_1, Γ_2 ，透射系数分别设为 τ_1, τ_2 。



■ 对三层介质分界平面的垂直入射「无损媒质1中的电磁波」

设媒质1中的入射波为

$$\begin{cases} \vec{E}_{1i}(z) = \vec{e}_x E_{1im} e^{-j\beta_1 z} \\ \vec{H}_{1i}(z) = \vec{e}_y \frac{1}{\eta_1} E_{1im} e^{-j\beta_1 z} \end{cases}$$

则反射波为

$$\begin{cases} \vec{E}_{1r}(z) = \vec{e}_x E_{1rm} e^{j\beta_1 z} = \vec{e}_x \Gamma_1 E_{1im} e^{j\beta_1 z} \\ \vec{H}_{1r}(z) = -\vec{e}_y \frac{1}{\eta_1} E_{1rm} e^{j\beta_1 z} = -\vec{e}_y \frac{1}{\eta_1} \Gamma_1 E_{1im} e^{j\beta_1 z} \end{cases}$$

媒质1中的合成波为二者之和

$$\begin{cases} \vec{E}_1(z) = \vec{e}_x E_{1im} (e^{-j\beta_1 z} + \Gamma_1 e^{j\beta_1 z}) \\ \vec{H}_1(z) = \vec{e}_y \frac{E_{1im}}{\eta_1} (e^{-j\beta_1 z} - \Gamma_1 e^{j\beta_1 z}) \end{cases}$$

■ 对三层介质分界平面的垂直入射「无损媒质2中的电磁波」

经分界面 $z = 0$ 的透射波为分界面 $z = d$ 的入射波，故可将其电场表示为：

$$\vec{E}_{2i}(z) = \vec{e}_x E_{2im} e^{-j\beta_2(z-d)} = \vec{e}_x \tau_1 E_{1im} e^{-j\beta_2(z-d)}.$$

其磁场为： $\vec{H}_{2i}(z) = \vec{e}_y \frac{\tau_1 E_{1im}}{\eta_2} e^{-j\beta_2(z-d)}.$

分界面 $z = d$ 处的反射波为：

$$\begin{cases} \vec{E}_{2r}(z) = \vec{e}_x \tau_1 \Gamma_2 E_{1im} e^{j\beta_2(z-d)} \\ \vec{H}_{2r}(z) = -\vec{e}_y \frac{\tau_1 \Gamma_2 E_{1im}}{\eta_2} e^{j\beta_2(z-d)} \end{cases}$$

媒质2中的合成波为：

$$\begin{cases} \vec{E}_2(z) = \vec{e}_x E_{2im} [e^{-j\beta_2(z-d)} + \Gamma_2 e^{j\beta_2(z-d)}] = \vec{e}_x \tau_1 E_{1im} [e^{-j\beta_2(z-d)} + \Gamma_2 e^{j\beta_2(z-d)}] \\ \vec{H}_2(z) = \vec{e}_y \frac{\tau_1 E_{1im}}{\eta_2} [e^{-j\beta_2(z-d)} - \Gamma_2 e^{j\beta_2(z-d)}] \end{cases}$$

■ 对三层介质分界平面的垂直入射「无损媒质3中的电磁波」

媒质3中只存在透射波，可写为：

$$\begin{cases} \vec{E}_3(z) = \vec{e}_x E_{3im} e^{-j\beta_3(z-d)} = \vec{e}_x \tau_1 \tau_2 E_{1im} e^{-j\beta_3(z-d)} \\ \vec{H}_3(z) = \vec{e}_y \frac{\tau_1 \tau_2 E_{1im}}{\eta_3} e^{-j\beta_3(z-d)} \end{cases}$$

■ 透射系数和反射系数「 $z=d$ 处」

分界面 $z = d$ 处的情况与前面单一分界面时类似：从图中看，该分界面左侧为入射波和反射波，右侧只有透射波。

故对该分界面应用边界条件，得到相应的透射系数和反射系数：

$$\Gamma_2 = \frac{\eta_3 - \eta_2}{\eta_3 + \eta_2}$$

$$\tau_2 = 1 + \Gamma_2 = \frac{2\eta_3}{\eta_3 + \eta_2}$$

■ 透射系数和反射系数「 $z=0$ 处」

分界面 $z = 0$ 处的情况与前面单一分界面时有较大差别：从图中看，该分界面左侧为入射波和反射波，右侧不仅有透射波还有分界面 $z = d$ 反射的反射波。故对该分界面应用边界条件，得到的透射系数和反射系数相较前面的复杂：

$$\Gamma_1 = \frac{\eta_{ef} - \eta_1}{\eta_{ef} + \eta_1}$$

$$\tau_1 = \frac{1 + \Gamma_1}{e^{j\beta_2 d} + \Gamma_2 e^{-j\beta_2 d}}$$

其中 $\eta_{ef} = \frac{E_2(0)}{H_2(0)}$ ，称为 $z = 0$ 处的等效波阻抗，它的另一表达式为：

$$\eta_{ef} = \eta_2 \frac{\eta_3 + j\eta_2 \tan(\beta_2 d)}{\eta_2 + j\eta_3 \tan(\beta_2 d)}。$$

■ 对多层介质分界平面的垂直入射

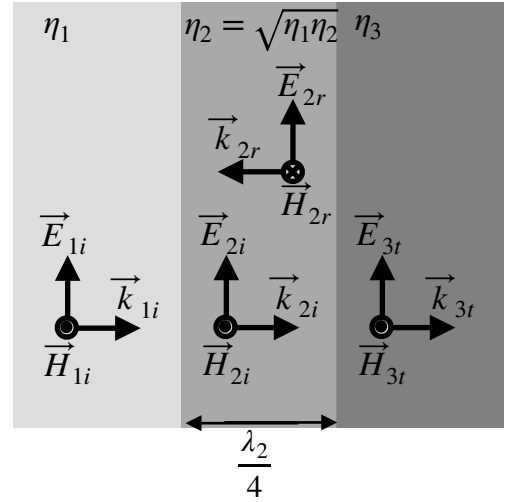
对 $n(>3)$ 层媒质的垂直入射情况，依然先计算最后一个分界面的反射系数 Γ_{n-1} ，然后求出前一个分界面处的等效波阻抗和反射系数 Γ_{n-2} ，依次类推直至求得第一个分界面处的等效波阻抗和反射系数。

■ 四分之一波长匹配层

在两种不同的媒质之间插入一层媒质，其厚度为该媒质对应波长的四分之一，即 $d = \frac{\lambda_2}{4}$ 。

如右图所示，插入的媒质与另外两种媒质构成三层介质的分界平面，则有 $\eta_{ef} = \eta_2 \frac{\eta_3 + j\eta_2 \tan(\beta_2 d)}{\eta_2 + j\eta_3 \tan(\beta_2 d)}$ ，

$$\Gamma_1 = \frac{\eta_{ef} - \eta_1}{\eta_{ef} + \eta_1}。$$



$d = \frac{\lambda_2}{4}$ 时，有 $\beta_2 d = \frac{2\pi}{\lambda_2} \frac{\lambda_2}{4} = \frac{\pi}{2}$ ，即 $\tan(\beta_2 d) = \tan \frac{\pi}{2} \rightarrow \infty$ 。

故等效波阻抗化为 $\eta_{ef} = \frac{\eta_2^2}{\eta_3}$ 。

当媒质2的本征阻抗为 $\eta_2 = \sqrt{\eta_1 \eta_3}$ 时，有 $\eta_{ef} = \eta_1$ ，此时 $d = \frac{\lambda_2}{4}$ ，媒质1与2的分界面上的反射系数为 $\Gamma_1 = 0$ 。

这表明，若在媒质1和媒质3之间插入一层厚度为 $\frac{\lambda_2}{4}$ 的媒质作为媒质2，只要媒质2的波阻抗满足 $\eta_2 = \sqrt{\eta_1 \eta_3}$ ，就能消除媒质1与媒质2分界面上的反射。称媒质2为四分之一波长匹配层。

■ 例题6-7

频率 100GHz 的均匀平面波从空气中垂直入射到 $\epsilon = 4\epsilon_0$ 、 $\mu = \mu_0$ 、 $\sigma = 0$ 的理想媒质平面上，为了消除反射，在媒质表面涂上 $1/4$ 波长的匹配层。试求匹配层的相对介电常数和最小厚度。

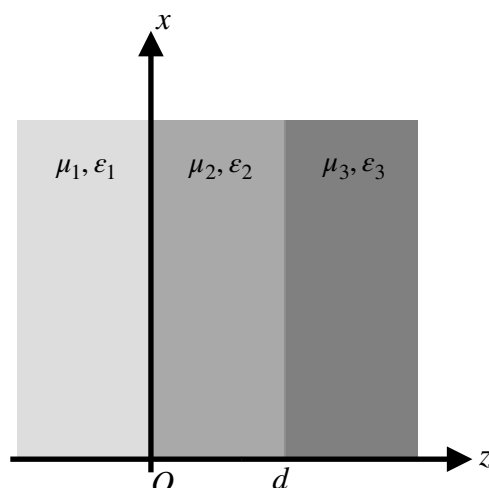
■ 半波长介质窗

对右图所示的三层媒质，有

$$\eta_{ef} = \eta_2 \frac{\eta_3 + j\eta_2 \tan(\beta_2 d)}{\eta_2 + j\eta_3 \tan(\beta_2 d)}$$

$$\Gamma_1 = \frac{\eta_{ef} - \eta_1}{\eta_{ef} + \eta_1}$$

$$\tau_1 = \frac{1 + \Gamma_1}{e^{j\beta_2 d} + \Gamma_2 e^{-j\beta_2 d}}$$



若媒质1和媒质3是相同的媒质，即 $\eta_1 = \eta_3$ 。

当媒质2的厚度 $d = \frac{\lambda_2}{2}$ 时，有 $\beta_2 d = \frac{2\pi}{\lambda_2} \frac{\lambda_2}{2} = \pi$ ，即 $\tan(\beta_2 d) = \tan \pi = 0$ 。

故等效波阻抗可化为 $\eta_{ef} = \eta_3 = \eta_1$ 。

此时媒质1和2的分界面的反射和透射系数分别为：

$$\Gamma_1 = 0$$

$$\tau_1 = -\frac{1}{1 + \Gamma_2}$$

又因 $\tau_2 = 1 + \Gamma_2$ ，故 $\tau_1 \tau_2 = -1$ ，则有 $E_{3tm} = \tau_1 \tau_2 E_{1im} = -E_{1im}$ ，这表明，在媒质1和3之

间插入一厚度 $d = \frac{\lambda_2}{2}$ 的媒质作为媒质2，则电磁波能无损耗地传入媒质3。称厚度为二分之

一波长的媒质2为半波长介质窗。

微信扫描二维码获取更多课程



斐多课堂 
Phaedo Classes